

شبیه‌سازی سه بعدی حفره‌ی آب‌شستگی اطراف تکیه‌گاه FLOW-3D پل با دیواره‌ی قائم با نرم‌افزار D

هاجر حسینی*

(دانشجوی کارشناسی ارشد)

نادر هائف (استاد)

ناصر طالب بیدختی (استاد)

بخش مهندسی راه و ساختمان و محیط زیست، دانشگاه شیراز

مهمنشی عمران شرف، (اتلسن ۱۳۹۳) دری ۳۰۰ شماره ۱۷، ص. ۱۱۷-۱۲۳، (پایه‌دانش ترقی)

آب‌شستگی اطراف تکیه‌گاه پل‌ها یکی از عوامل اصلی شکست پل‌هاست و شکست پل‌ها خود ممکن است منجر به تلفات مالی و حتی جانی شود. به همین دلیل پیش‌بینی عمق آب‌شستگی قبل از طراحی پل برای پیشگیری از شکست آن امری ضروری است. در این نوشته، با استفاده از نرم‌افزار FLOW-3D، که یک نرم‌افزار قوی در مدل‌سازی جریان و انتقال رسبوب است، آب‌شستگی اطراف تکیه‌گاه پل با دیواره‌ی قائم شبیه‌سازی شده است. از این نرم‌افزار برای حل معادلات سه بعدی ناوبر - استوکس به روش حجم محدود استفاده شده است. مدل آشفتگی RNG برای مدل‌سازی میدان جریان اطراف تکیه‌گاه، محلی که گردابه‌های نعل اسجی تشکیل شده و جریان آشته غالب است، به کار برده شده است. مدل مورد استفاده، مقدار عمق میانگین جریان و مقدار پیشینه‌ی عمق آب‌شستگی و محل قوع آن را با دقت خوبی در مقایسه با نتایج آزمایشگاهی پیش‌بینی می‌کند؛ به طوری که پیشینه‌ی عمق آب‌شستگی پیش‌بینی شده در شبیه‌سازی فقط ۷٪ با مقدار مدل آزمایشگاهی تفاوت دارد.

وازگان کلیدی: آب‌شستگی، تکیه‌گاه پل، FLOW-3D، دینامیک سیالات
محاسباتی.

۱. مقدمه

بسیار ساده فرض می‌شوند یا چشم‌پوشی می‌شوند؛ و اکثر آزمایش‌ها با فرض جریان یکنواخت، عمق جریان ثابت و مصالح بستر غیرچسبنده انجام می‌شوند. بنابراین معادلات عمق آب‌شستگی، که بر اساس اطلاعات فلوم‌های آزمایشگاهی به دست آمدۀ‌اند، این عمق را بیشتر از مقدار واقعی آن محاسبه می‌کنند.^[۱] پژوهشگرانی نیز با مطالعه‌ی جریان اطراف تکیه‌گاه، یک گردابه‌ی اولیه را تشخیص داده‌اند که شبیه گردابه‌ی نعل اسجی اطراف پایه‌ی پل بوده، که در امتداد جریان رو به پایین و عملت اصلی آب‌شستگی در تکیه‌گاه پل می‌باشد.^[۲] در وجه بالا دست یک تکیه‌گاه، یک گردابان فشار عمودی به علت ایستایی جریان عبوری به وجود می‌آید. این گردابان فشار جریان را به سمت پایین هدایت می‌کند و این تلاطم تبدیل به گردابه‌ی اولیه می‌شود، که اندازه‌ی آن با گسترش حفره‌ی آب‌شستگی بزرگ‌تر می‌شود. بر اساس نتایج مطالعاتی در سال ۲۰۰۵، تنش برشی بستر نزدیک دماغه‌ی تکیه‌گاه بوده‌اند.^[۳] در زمینه‌ی آب‌شستگی تکیه‌گاه پل‌های واقع در کانال‌های مرکب و مدل‌سازی جریان اطراف آن‌ها پژوهش‌های وسیعی صورت گرفته است، که در آن‌ها با بررسی عوامل متعدد تأثیرگذار در آب‌شستگی تکیه‌گاه‌ها، روابطی جهت تعیین عمق آب‌شستگی ارائه شده است.^[۴] برای مطالعه‌ی میدان جریان و آب‌شستگی ناشی از آن در اطراف تکیه‌گاه پل‌ها، پژوهش‌های متعددی صورت گرفته است. به علت اثرات مقیاس‌سازی در مدل‌های آزمایشگاهی، پیچیدگی‌های رودخانه‌های طبیعی با

آب‌شستگی اطراف تکیه‌گاه پل‌ها، یکی از دلایل معمول شکست پل‌هاست و شکست پل‌ها معمولاً منجر به اختلال در ترافیک می‌شود و گاهی نیز تلفات جانی در بردارد. این پدیده موجب فرسایش هیدرولیکی مرزهای آبراهه‌ی اطراف آن و زوال ژوئنکینکی خاک ریز می‌شود. بر این اساس لازم است که سازه‌ی تکیه‌گاه پل همان‌گونه که در برابر شکست ژوئنکینکی مقاوم می‌شود، در برابر فرسایش هیدرولیکی نیز محافظت شود. شکست پل‌ها در اثر آب‌شستگی در محل پی، که شامل تکیه‌گاه‌ها و پایه‌های است، نتایج مطالعه‌ی سازمان فدرال بزرگ راه‌های آمریکا در سال ۱۹۷۳ اتفاقی رایج است. نتایج مطالعه‌ی سازمان فدرال بزرگ راه‌های آمریکا در سال ۱۹۷۳ نشان داد که از بین ۳۸۳ شکست پل، ۲۵٪ ناشی از خرابی پایه و ۷۲٪ به علت خرابی تکیه‌گاه بوده‌اند.^[۵] در زمینه‌ی آب‌شستگی تکیه‌گاه پل‌های واقع در کانال‌های مرکب و مدل‌سازی جریان اطراف آن‌ها پژوهش‌های وسیعی صورت گرفته است، که در آن‌ها با بررسی عوامل متعدد تأثیرگذار در آب‌شستگی تکیه‌گاه‌ها، روابطی جهت تعیین عمق آب‌شستگی ارائه شده است.^[۶] برای مطالعه‌ی میدان جریان و آب‌شستگی ناشی از آن در اطراف تکیه‌گاه پل‌ها، پژوهش‌های متعددی صورت گرفته است. به علت اثرات مقیاس‌سازی در مدل‌های آزمایشگاهی، پیچیدگی‌های رودخانه‌های طبیعی با

* نویسنده مسئول
تاریخ: دریافت ۱۳۹۱/۹/۲۲، اصلاحیه ۱۳۹۱/۹/۲۵، پذیرش ۱۳۹۲/۱/۳۱.

به طور متفاوت تعیین می‌شود. معادله‌ی قانون لگاریتمی ترکیب دیواره با سطح صاف و زیر (رابطه‌ی ۴) به صورت سعی و خطای برای حل سرعت برشی، u_* ، به کار برده می‌شود:^[۲۰]

$$u_* = u_* \left[\frac{1}{\kappa} \ln \left(\frac{\rho u_* y_*}{\mu + \rho a u_* k_s} \right) + 5.0 \right] \quad (4)$$

که در آن، κ ثابت Van Karman است که مقدار آن مساوی 0.416 برای مدل $\epsilon - k$ و 0.446 برای مدل RNG است. k_s زبری مانع، y_* عرضی بین مانع تا سرعت مماسی، u_* است. مخرج رابطه‌ی ۴، گران روی مؤثر به علت اثرات دیواره زیر است، $(Re_{eff} = \mu + \rho a u_* k_s)$.

اگر سلول در زیر لایه‌ی جریان آرام قرار گرفته باشد، $(Re_* = \rho u_* y_* / \mu) \leq 5.0$ رابطه‌ی ۵ برای محاسبه‌ی سرعت برشی خواهد بود:

$$u_* = \sqrt{\frac{\mu u_*}{\rho y_*}} \quad (5)$$

که از این رابطه، برای محاسبه‌ی سرعت برشی، u_* ، به عنوان شرایط مرزی در معادلات انتقال آشفتگی استفاده می‌شود. سپس اثرات زیری از طریق گران روی دینامیکی کل، μ_{tot} ، و مستقیماً از طریق تنش برشی جداره، w_s ، (رابطه‌ی ۶) وارد معادلات حرکت می‌شوند:

$$w_{si} = \sum_j \frac{2\rho |u_{xi}| u_{xi}}{\Delta x_j} \quad (6)$$

برای جریانات ورقه‌بی و آرام و بدون انتقال آشفتگی، تنش برشی جداره، w_s ، از طریق رابطه‌ی ۷ محاسبه می‌شود:

$$w_{si} = \frac{(\mu + \rho a u_* k_s) u_*}{y_*} \quad (7)$$

سپس تنش برشی جداره محاسبه شده مستقیماً وارد معادله‌ی مومتم (رابطه‌ی ۳) می‌شود.

نرم افزار FLOW-3D از روش حجم سیال (VOF) برای بررسی سطح مشترک سیال - سیال - سیال - هوا استفاده می‌کند. روش VOF حجم سیال در هر سلول مستطیلی را ثبت می‌کند. این حجم با احجام سلول‌های مجاور مقایسه می‌شود تا شبیب، موقعیت، و انحنای سیال درون سلول مشخص شود.^[۲۱] سطح مشترک مرزهای solid با روش FAVOR ۳ شبیه‌سازی می‌شود. این روش، مساحت و فضاهای باز سلول‌ها در هر سلول مستطیلی را برای تعیین مناطق درون سلول، که توسط مانع اشغال شده‌اند، محاسبه می‌کند.

۲.۲. مدل رسوب

مدل آب‌شستگی رسوب در FLOW-3D رفتار رسوبات در جریان سه بعدی، که در فرسایش اطراف پایه‌ی پل و سایر سازه‌های مشابه کاربرد دارد، را شبیه‌سازی می‌کند. برای رسوبات موجود دو حالت وجود دارد: ۱. حالتی که رسوبات تحت گرادیان فشار محلی به صورت شناور و معلق در می‌آیند. ۲. حالتی که رسوبات تهنتین شده تحت فرسایش قرار می‌گیرند و به حرکت در می‌آیند. این مدل شامل دو بخش اصلی است: ۱. شناوری، ۲. بلندشدگی.^[۲۲] مدل شناوری، نیروی محرك بر ذره‌ی رسوب معلق برای معلق شدن در جریان را تولید می‌کند، که مدل drift-flux نامیده می‌شود. مدل بلندشدگی، به متزله‌ی نیروی بالابرندۀ ناشی از تنش برشی موضعی اعمال شده، از

مطالعاتی نیز در مورد عمق آب‌شستگی تکیه‌گاه و پایداری سنگچین اطراف آن انجام شد.^[۱۲] همچنین پژوهشگرانی تنش‌های آشفتگی در سطح زیرین اطراف یک تکیه‌گاه را برآورد کردند.^[۱۳] و برخی دیگر با استفاده از مدل‌های آزمایشگاهی، روند آب‌شستگی موضعی اطراف تکیه‌گاه‌های نیم‌دایره‌ی مقایسه، و روابطی مسلح شده را با روند آب‌شستگی موضعی تکیه‌گاه‌های نیم‌دایره‌ی مقایسه، در پژوهشی نیز ساختار جریان آشفتگی و گردابی نعل اسی تشکیل شده در اطراف تکیه‌گاه پل‌ها شبیه‌سازی و تأثیر طول تکیه‌گاه بر تنش برشی بستر بررسی گردید.^[۱۴] همچنین پژوهشگرانی با استفاده از مدل‌های آزمایشگاهی و شبیه‌سازی عددی جریان اطراف تکیه‌گاه‌های واقع در کanal‌های مرکب و مستطیلی، رابطه‌ی برشی را جهت تخمین اندازه‌ی شبکه‌ی بهینه در هنگام استفاده از عمق میانگین جریان ارائه کردند.^[۱۵]

در این نوشتار، جریان و نحوه انتقال رسوب اطراف تکیه‌گاه پل با دیواره قائم توسط مدل عددی FLOW-3D شبیه‌سازی شد. چگونگی تشکیل گردابهای نعل اسی و برخاستگی اطراف تکیه‌گاه بررسی و آنالیز حساسیت بر مشیندی جهت پیش‌بینی عمق متوسط جریان و بیشینه عمق آب‌شستگی صورت گرفت.

۲. مشخصات مدل عددی

۲.۱. مدل هیدرودینامیک

مدل دینامیک سیالات محاسباتی (CFD)^[۱] به کار گرفته شده در این پژوهش، مدل FLOW-3D است. این مدل توانایی پی‌گیری و بررسی سیال - مرز و تحلیل سطح مشترک سیال - سیال و سیال - هوا را با مختصات نامحدود مستطیلی و یا استوانه‌یی دارد. این مدل برای طیف وسیعی از مسائل هیدرولیکی و مهندسی ساحل به کار گرفته شده است، برای مثال، جریان و آب‌شستگی پایه‌ی پل،^[۱۶] جریان عبوری از سرریز لبه‌ی تیز و تغییرشکل امواج نزدیک ساحل.^[۱۷، ۱۸]

این مدل به طور هم‌زمان معادلات سه بعدی ناویر - استوکس و معادله‌ی پیوستگی را حل می‌کند. معادله‌ی پیوستگی (رابطه‌ی ۱) و رابطه‌ی ناویر - استوکس برای سیالات تراکم‌ناپذیر (رابطه‌ی ۲) به این صورت است:

$$\frac{\partial}{\partial x_i} u_i A_i = 0 \quad (1)$$

$$\frac{\partial u_i}{\partial t} + \frac{1}{V_f} \left(u_j A_j \frac{\partial u_i}{\partial x_j} \right) = - \frac{1}{\rho} \frac{\partial P}{\partial x_i} + G_i + f_i - K u_i \quad (2)$$

که:

$$\begin{aligned} \rho V_f f_i &= w_{si} - \left[\frac{\partial}{\partial x_j} (A_j S_{ij}) \right] \\ S_{ii} &= -2 \mu_{tot} \left[\frac{\partial u_i}{\partial x_i} \right], \\ S_{ij} &= -\mu_{tot} \left[\frac{\partial u_i}{\partial x_j} + \frac{\partial u_j}{\partial x_i} \right] \end{aligned} \quad (3)$$

که در آن، u سرعت متوسط، P فشار، A : کسر سطح آزاد به جریان در جهت i ، V_f کسر حجم باز به جریان، G_i بیان‌گر شتاب‌های جرم، f_i شتاب‌های ویسکوز K کسر نیروی پسای^۲ بین ذره‌ی رسوب، S_{ij} : تنسور نزخ کرنش، w_{si} : تنش برشی جداره، ρ چکالی آب و μ_{tot} گران روی دینامیکی کل است، که اثرات آشفتگی را لحاظ می‌کند ($\mu_{tot} = \mu + \mu_T$).

شرایط مرزی جداره‌ی بسته به مدل آشفتگی انتخابی (برای مثال مدل $\epsilon - k$ ،

سایش ذره از مرز رسوبات بستر است، که با پارامتر بحرانی شیلدز تعیین می‌شود (رابطه‌ی ۱۳):

$$\theta_{crit} = \frac{\tau_{crit}}{g(\rho_s - \rho_l)} \quad (13)$$

در مدل شناوری، به عنوان یک مدل بستر رسوبات معلق، فرض می‌شود که معلق شدن و advection بر انتقال بیشتر ذرات رسوب از بستر غالب است. آب‌شستگی به تنش برشی سیال بستگی دارد، تنش برشی بحرانی باعث شروع آب‌شستگی و اختلاف چگالی بین سیال و ذرات رسوب می‌شود. در FLOW-۳D، غلظت رسوب در سطح مشترک بستر با سیال تابعی از $(\tau - \tau_{crit})^{1/5}$ است. مدل بلندشدگی حرکت بار بستر را شبیه‌سازی می‌کند و شار موضعی رسوبات فرسایش باعث از مرز بستر را پیش‌بینی می‌کند. شار رسوبات زمانی رخ می‌دهد که تنش برشی نرمال شده بستر بیشتر از مقدار بحرانی آن شود.

پارامتر مهم دیگر، زاویه‌ی قرارگیری مصالح^۸ رسوبات است که اثر شیب بستر بر آغاز بر حکم ذرات رسوبات packed را لحاظ می‌کند. زاویه‌ی قرارگیری مصالح کوچک شرایط راحت‌تری برای لغزش در جهت شیب را فراهم می‌کند، در حالی که زاویه‌ی قرارگیری مصالح بزرگ سبب آغاز به حرکت سخت‌تر ذرات خواهد شد. در مدل آب‌شستگی رسوب FLOW-۳D، این زاویه می‌تواند توسط کاربر به عنوان یک ثابت تعريف شود. تنش برشی بحرانی در سطح شیب رسوب تابعی از نسبت شیب واقعی به زاویه‌ی قرارگیری مصالح به صورت رابطه‌ی ۱۴ است:

$$\tau_{crit} = \tau_{crit}^* \sqrt{1 - \frac{\sin^\varphi \varphi}{\sin^\varphi \omega}} \quad (14)$$

که در آن، τ_{crit} تنش برشی بحرانی در بستر رسوب packed دارای شیب φ تنش برشی بحرانی بستر افقی است. φ زاویه واقعی بین بردار نرمال سطح بستر و بردار گرانش و ω زاویه‌ی قرارگیری مصالح است. هنگامی که $\omega = \varphi$ ، تنش برشی بحرانی موضعی (τ_{crit}) صفر خواهد شد، بدین معنی که هر آشفتگی از ناحیه‌ی جریان می‌تواند باعث لغزش دانه‌های رسوب بر روی شیب شود؛ زمانی که $\varphi = 0$ ، تنش برشی بحرانی موضعی همان تنش برشی بحرانی شیب افقی خواهد بود.

در FLOW-۳D معادله‌ی همرفت - پخش^۹ به کارگرفته شده جهت مدل سازی حرکت رسوب معلق در دامنه‌ی جریان به صورت رابطه‌ی ۱۵ است:

$$\left(\frac{\partial C_s}{\partial t} \right)_x + \mathbf{u} \cdot \nabla C_s = D \nabla^\varphi C_s - \mathbf{u}_{lift} \cdot \nabla C_s - \mathbf{u}_{drift} \cdot \nabla C_s \quad (15)$$

که در آن، \mathbf{u} بردار سرعت محلی انتقال، C_s غلظت محلی رسوبات معلق، D ضریب پخشودگی^{۱۰} است. در معادله‌ی همرفت - پخش، دو ترم اضافی دیگر ناشی از بلندشدگی و شناوری رسوب است. \mathbf{u}_{lift} در ناحیه‌هایی که تنش برشی موضعی نتواند از مقدار بحرانی (τ_{crit}) بیشتر شود، مساوی صفر خواهد بود؛ بنابراین، شناوری در بیشتر قسمت‌های دامنه‌ی جریان بر حرکت رسوبات معلق اثری نخواهد داشت؛ به جز در مجاورت مرز مشترک رسوبات انباسته شده و سیال.

۳. نحوه شبیه‌سازی

پژوهشی در سال ۲۰۰۵، برای مطالعه‌ی آب‌شستگی اطراف تکیه‌گاه پل‌ها و نیز تأثیر فردادن طوفه^{۱۱} اطراف آن‌ها، بر کنترل آب‌شستگی آزمایش‌های متعددی ترتیب

طرف جریان بر بستر در سطح مشترک شان برای جداسازی ذرات از بستر رسوب عمل می‌کند. رفتار رسوب توسط مدل نیروی پسا کنترل می‌شود. هنگامی که تمرکز رسوب از مقدار کسر ذرات چسبنده، که توسط کاربر تعريف می‌شود، بیشتر شود؛ برای شبیه‌سازی رفتار جامد مانند رسوب مدل drag فعال می‌شود. گران روی و drag معمولی تابع تمرکز رسوب هستند. برای پیش‌بینی رفتار شبیه جامد، یک ترم drag خطی اضافی، $K\mathbf{u}$ ، به معادله‌ی مومنت به صورت رابطه‌ی ۸ اضافه می‌شود (FLOW-۳User Manual):

$$\frac{\partial \mathbf{u}}{\partial t} + \mathbf{u} \cdot \nabla \mathbf{u} = \frac{-\nabla P}{\bar{\rho}} + \frac{\nabla \cdot \tau}{\bar{\rho}} + \mathbf{g} - K\mathbf{u} \quad (8)$$

و چگالی متوسط در بستر رسوب به صورت رابطه‌ی ۹ محاسبه می‌شود:

$$\bar{\rho} = \rho_l + f_s(\rho_s - \rho_l) \quad (9)$$

که در آن، ρ_l و ρ_s به ترتیب چگالی محلی سیال و ذرات رسوب هستند. τ تنش برشی ناشی از گران روی سیال، و K ضریب drag ذرات است که می‌توان آن را از رابطه‌ی ۱۰ با فرض رفتار شبیه جامد محاسبه کرد:

$$K = \begin{cases} 0 & f_s < f_{s,co} \\ \left(\frac{f_{s,cr} - f_{s,co}}{f_{s,cr} - f_s} \right) \left(\frac{f_{s,cr} - f_{s,co}}{f_{s,cr} - f_s} - 1 \right) & f_{s,co} < f_s < f_{s,cr} \\ \infty & f_s > f_{s,cr} \end{cases} \quad (10)$$

که در آن، f_s کسر جامد رسوب^۴، $f_{s,co}$ کسر جامد چسبنده^۵ در زمانی است که گران روی جریان با تمرکز رسوب افزایش نیابد، و $f_{s,cr}$ کسر جامد بحرانی^۶ در زمانی که جریان سیال متوقف می‌شود و مثل جامد رفتار می‌کند. بردارهای سرعت محلی ذرات، که شامل ۲ مؤلفه است: u_{drift} و u_{lift} ، با معادلات ۱۱ مدل می‌شوند:

$$u_{drift} = \frac{f_l d^\varphi}{18\mu} \frac{\nabla P}{\bar{\rho}} (\rho_s - \rho_l) \\ u_{lift} = \alpha n_s \sqrt{\frac{\tau - \tau_{crit}}{\bar{\rho}}} \quad (11)$$

که در آن، d میانگین قطر رسوب، و μ گران روی جریان (که با گران روی آشفتگی در مدل آشفته افزایش می‌یابد)، که از رابطه‌ی ۱۲ محاسبه می‌شود:

$$\mu = \mu_l \left(1 - \frac{\min(f_s, f_{s,co})}{f_{s,cr}} \right)^{-1/55} \quad (12)$$

که در آن، μ_l گران روی مولکولی سیال است. این رابطه نشان می‌دهد که گران روی متوسط جریان با افزایش کسر جامد یا تمرکز رسوب افزایش می‌یابد، تا زمانی که کسر جامد با کسر جامد چسبنده برابر شود؛ یعنی جایی که مدل شبیه جامد فعال شود و گران روی جریان نتواند افزایش یابد. هنگامی که کسر جامد با کسر جامد بحرانی مساوی شود، گران روی جریان بی‌نهایت می‌شود؛ که به معنی حالت جامد کامل است، که منطبق با مدل ضریب پساست.

f_l کسر سیال است و u_{drift} زمانی که f_l صفر می‌شود، $\alpha < 1 < \beta$ (۱۰) یک پارامتر بی‌بعد و نمایانگر احتمال کنده شدن یک ذره از سطح تهشیش شده است. n_s بردار عمود بر سطح بستر است. τ_{crit} تنش برشی بحرانی مورد نیاز جهت

داده شده است.^[۲۳] در این نوشتار سری ۳ آزمایش‌های پژوهش مذکور بدون وجود طوفه برای شبیه‌سازی با استفاده از نرم‌افزار FLOW-3D انتخاب شد. برای اساس، تکیه‌گاه با دیواره‌ی عمودی به ابعاد طول ۲۰ سانتی‌متر و عرض ۱۰ سانتی‌متر در فلوم آزمایشگاهی به طول ۱۰ متر، عرض ۱/۵ متر و عمق ۰/۵ متر در نرم‌افزار شبیه‌سازی شد (شکل ۱). آزمایش‌هایی برای قطر ذرات رسوبی ۱/۴۸ میلی‌متر چگالی ۲۶۵۰ کیلوگرم بر مترمکعب و زاویه‌ی قرارگیری مصالح ۳۰°، تحت دبی ورودی ۰/۰۵ مترمکعب در ثانیه و عمق جریان ۰/۱ متر صورت پذیرفت. شرایط مرزی به صورت تعیین دبی و تراز سطح آب در بالادست، تراز سطح آب در مقطع خروجی (معادل عمق پایاب)، دیواره‌ی بدون لغزش با زبری ۰/۰۰۳ میلی‌متر (معادل زیری شبیه) برای کف و جداره‌های فلوم و شرایط متقاضی در قسمت بالا تعريف شد (شکل ۲). برای شبیه‌سازی آشفتگی از مدل RNG استفاده شد. شبکه‌بندی با یک بالوک سه بعدی و با ابعاد سلول‌های متفاوت جهت آنالیز حساسیت انجام شد، که در جدول ۱ ارائه شده است.

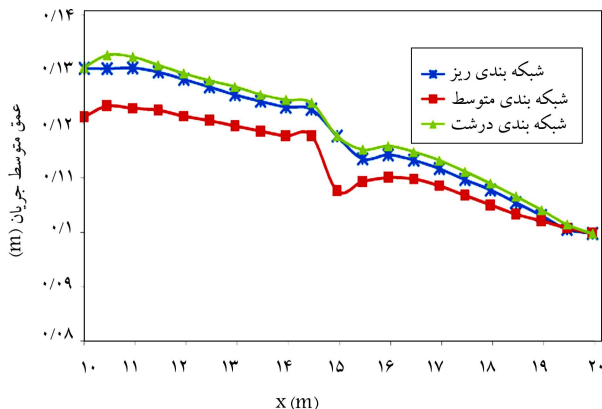
لگاریتمی برسد؛ در غیر این صورت، جریان کاملاً توسعه‌یافته در مزد بستر منجر به اشتباه در آستانه‌ی حرکت پروسه‌ی آب‌شستگی به علت گرادیان بالای سرعت خواهد شد. شبیه‌سازی اول برای مدت زمان ۱۵۰ ثانیه صورت گرفت و دامنه‌ی جریان به حالت پایدار رسید. پس از آن شبیه‌سازی با پارامتر واقعی شیلدز بستر رسوبی به مدت ۶۰ ثانیه ادامه و روند فرسایش مورد مطالعه قرار گرفت.

۴. نتایج شبیه‌سازی عددی

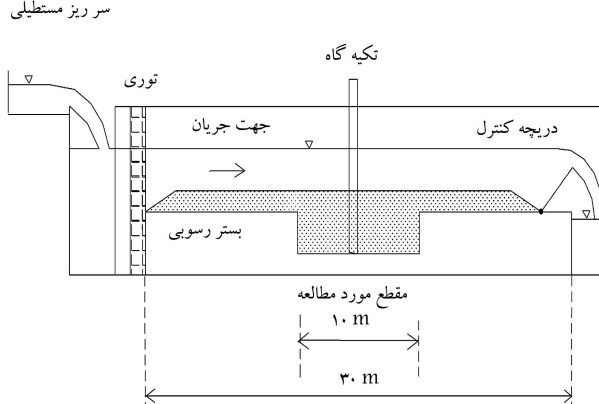
پروفیل سطح آب برای هر سه مدل در شکل ۳ نشان داده شده است. همان‌طور که مشاهده می‌شود، در محل تکیه‌گاه به علت به وجود آمدن جریانات آشفته و گردابه‌ها، عمق جریان کاهش می‌یابد. همچنین به علت برگشت آب و ایجاد گردابه‌های نعل اسیبی در بالادست و به وجود آمدن گردابه‌های برخاستگی در پایین دست تکیه‌گاه، سرعت‌های منفی در اطراف آن مشاهده می‌شود (شکل ۴).

با گذشت ۵ ثانیه از مرحله‌ی دوم، توزیع سرعت به حالت قابل قبول تری از توزیع لگاریتمی می‌رسد؛ به گونه‌ی که مقدار سرعت در سطح بستر رسوبی به صفر نزدیک‌تر می‌شود و جریان نمی‌تواند به درون لایه‌ی ماسه نفوذ کند. شکل ۵، بردارهای توزیع سرعت در ثانیه‌ی شروع مرحله‌ی دوم و ۵ ثانیه پس از آن را نمایش می‌دهد. شکل ۵الف و ۵ب نشان می‌دهد که مرحله‌ی گذار از حالت (الف) به حالت (ب) تأثیر کمی بر پروفیل آب‌شستگی اولیه بر اساس شرایط ابتدایی جایگزین شده با حالت پایدار حاصل از پارامتر بحرانی شیلدز ۱۰۰ دارد.

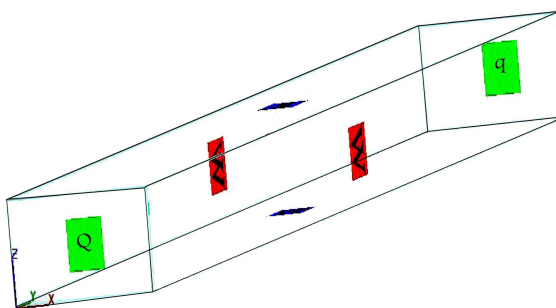
اگر اندازه‌ی بعد قائم سلول در مزد مشترک بستر رسوبی و جریان بسیار بزرگ باشد، گرادیان سرعت نزدیک به بستر ماسه‌یی منطقی نخواهد بود و منجر به توزیع نادرست تنش برخی می‌شود. همچنین جریان ممکن است به تعدادی از سلول‌ها در



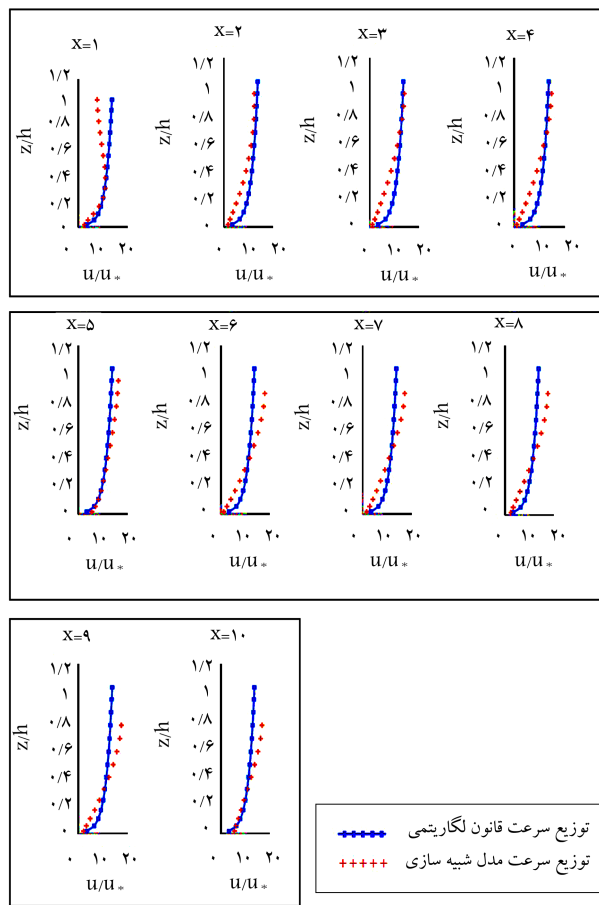
شکل ۳. نیمرخ سطح آب مدل شبیه‌سازی شده برای اندازه‌ی شبکه‌بندی‌های مختلف.



شکل ۱. نمای کلی مدل آزمایشگاهی.^[۲۳]

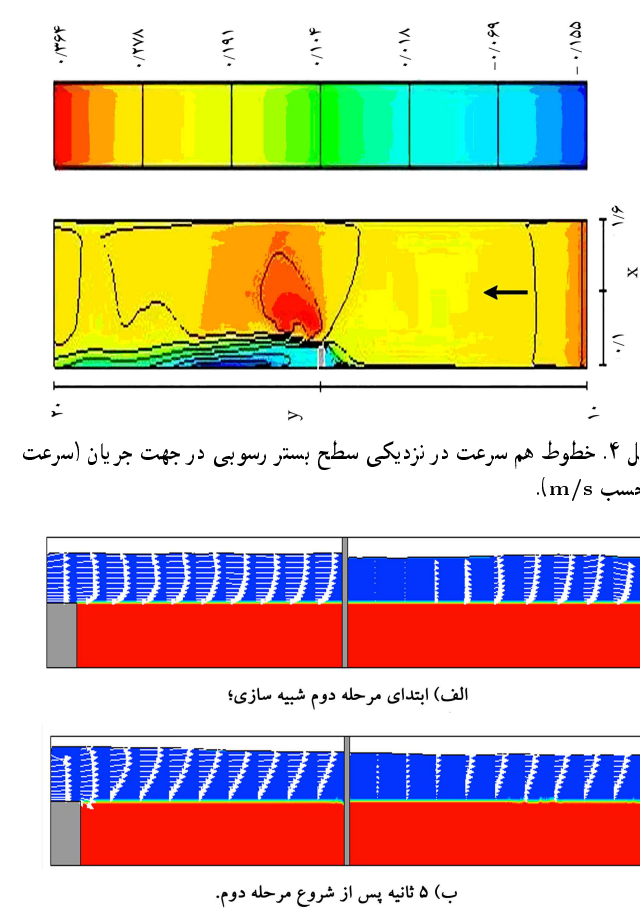


شکل ۲. شرایط مرزی مدل.



شکل ۶. مقایسه‌ی نیميخ سرعت مدل با توزیع سرعت لگاریتمی در فواصل ۱ متری نیميخ طولی.

که مقدار $0,33$ متر بر ثانیه اندازه‌گیری شده است، مقایسه شد. بدین منظور از روش‌های خطای محدود میانگین مربعات (RMSE) و خطای نسبی (RE)^{۱۲} و میانگین خطای مطلق (MAE)^{۱۳} برای تعیین میزان خطا استفاده شده است. عمق متوسط جریان با استفاده از مقدار میانگین پروفیل طولی تعیین و با روش‌های ذکرشده، میزان خطا نسبت به عمق متوسط جریان اندازه‌گیری شده در آزمایشگاه، مشاهده می‌شود، نتایج مدل شبیه سازی با رابطه‌ی تئوری توزیع لگاریتمی سرعت مطابقت خوبی را نشان می‌دهد.



شکل ۴. خطوط هم سرعت در نزدیکی سطح بستر رسوی در جهت جریان (سرعت بر حسب m/s).

شکل ۵. بردارهای توزیع سرعت.

مجاورت مرز رسویات نفوذ کند و باعث ایجاد آب شستگی غیرواقعی در مراحل ابتدایی شود. بنابراین، در 1 سانتی‌متری از سطح مشترک درون بستر رسوی برای همه‌ی مدل‌ها، اندازه‌ی بعد قائم، کوچک و برابر $0,33$ سانتی‌متر در نظر گرفته شده است. در شکل ۶، نمودارهای پروفیل سرعت حاصل از نتایج شبیه سازی با توزیع سرعت لگاریتمی در فواصل 1 متری پروفیل طولی مقایسه شده است. همان‌طور که مشاهده می‌شود، نتایج مدل شبیه سازی با رابطه‌ی تئوری توزیع لگاریتمی سرعت مطابقت خوبی را نشان می‌دهد. جهت تعیین سرعت متوسط با استفاده از روش محدود میانگین مربعات (RMSE)^{۱۲} ابتدا در فواصل 1 متری از پروفیل طولی مقدار سرعت متوسط محاسبه شد. سپس میانگین سرعت‌های حاصل با سرعت متوسط نتایج آزمایشگاهی

جدول ۲. میانگین سرعت و عمق جریان و میزان خطا برای شبکه‌بندی‌های مختلف.

| مرز بستر رسویی و جریان آب | عمق جریان | | | نوع شبکه در | | |
|---------------------------|------------|----------|--------|-----------------|---------|----------|
| | سرعت جریان | | | عمق متوسط جریان | | |
| | MAE (%) | RMSE (%) | RE (%) | شبیه سازی (cm) | MAE (%) | RMSE (%) |
| ریز | ۵,۷ | ۷,۳ | ۲,۳ | ۰,۳۲۲ | ۱,۷ | ۲ |
| متوسط | ۲,۷ | ۳,۴ | ۶ | ۰,۳۱ | ۱,۳ | ۱,۵ |
| درشت | ۵,۷ | ۷,۴ | ۱,۸ | ۰,۳۲۴ | ۱,۸ | ۱,۲ |

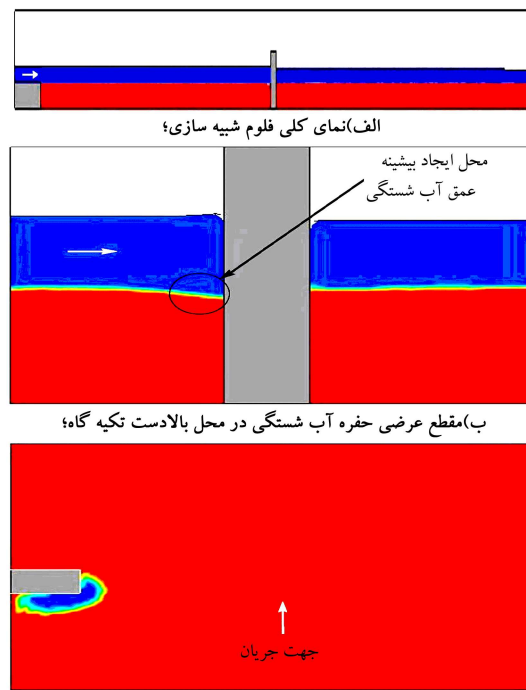
است؛ بنابراین می‌توان از شبکه‌ی درشت و شبکه‌ی متوسط به لحاظ صرفه‌جویی در زمان محاسبات منوط به پیش‌بینی عمق آب شستگی با خطای کم استفاده کرد.

پس از گسترش جریان، با استفاده از تکنیک restart نرم‌افزار، از نتایج مرحله‌ی اول به عنوان ورودی برای مرحله‌ی دوم شبیه‌سازی رسوب استفاده می‌شود. در این مرحله پارامتر بحرانی شیلدز واقعی مصالح وارد محاسبات می‌شود و به مدل اجازه‌ی فرسایش رسوبات داده می‌شود. شبیه‌سازی رسوب برای مدت زمان ۶۰ ثانیه انجام گرفت. پیش‌بینی عمق آب شستگی طبق انتظار در بالا دست کوله رخ می‌دهد و حفره‌ی آب شستگی اطراف آن ایجاد می‌شود (شکل ۷).

نتایج حاصل از سه مدل و میزان خطای در مقایسه با مقدار پیش‌بینی عمق آب شستگی مدل آزمایشگاهی، ۱/۴ سانتی‌متر، در جدول ۳ آورده شده است. با توجه به این جدول، مدل با شبکه‌بندی درشت مقدار پیش‌بینی عمق آب شستگی با خطای کمتری را پیش‌بینی می‌کند. البته کلیه‌ی شبیه‌سازی‌ها مقدار عمق آب شستگی را بیشتر از مقدار مدل آزمایشگاهی پیش‌بینی کرده‌اند؛ که با توجه به ماهیت بسیار پیچیده‌ی فرسایش اطراف کوله‌ها، در جهت احتیاط و قابل پذیرش است.

۵. نتیجه‌گیری

پیش‌بینی عمق حفره‌ی آب شستگی تکیه‌گاه پل قبل از طراحی آن برای پیش‌گیری از شکست پل امری ضروری است. در این پژوهش، با استفاده از نرم‌افزار FLOW-3D CFD، چگونگی تشکیل گردها های نعل اسبی و ایجاد حفره‌ی آب شستگی ناشی از آن بررسی شد. این مدل آب شستگی را می‌توان با مدل آزمایشگاهی پیش‌بینی می‌کند. همچنین با توجه به آنالیز حساسیت برای شبکه‌بندی، شبکه با مشاهدات مقدار پیش‌بینی عمق آب شستگی را بهتر پیش‌بینی می‌کند. اما باید توجه داشت که بزرگ‌تر شدن مشاهدات نباید بیش از حد شود، زیرا باعث خطای زیاد در تشکیل عمق جریان و در نتیجه، خطای در پیش‌بینی عمق آب شستگی خواهد شد.



شکل ۷. تشکیل حفره آب شستگی در بالا دست دست تکیه‌گاه

جدول ۳. مقادیر پیش‌بینی عمق آب شستگی مدل‌های شبیه‌سازی.

| نوع شبکه در مرز بستر | بیشینه‌ی عمق آب شستگی (%) | رسوبی و جریان آب | مدل شبیه‌سازی (cm) |
|----------------------|---------------------------|------------------|--------------------|
| ۲۲ | ۱,۸۳ | ریز | |
| ۱۶ | ۱,۶۷ | متوسط | |
| ۷ | ۱,۵ | درشت | |

پانوشت‌ها

1. computational fluid dynamics
2. drag
3. fractional area-volume obstacle representation
4. solid fraction of the sediment
5. cohesive solid fraction
6. critical solid fraction
7. liquid fraction
8. angle of repose
9. advection-diffusion
10. diffusion factor
11. collar
12. root mean square
13. relative error
14. mean absolute error

منابع (References)

1. Richardson, E.V., Harrison, L.J., Richardson, J.R. and Davies, S.R., *Evaluating Scour at Bridges*, Publ. FHWA-IP-90-017, Federal Highway Administration, US Department of Transportation, Washington, DC. (1993).
2. Ettema, R., Nakato, T. and Muste, M. "Estimation of scour depth at bridge abutments", Final Report, NCHRP 24-20, Transportation Research Board, Washington. DC (2010).
3. Mueller, D. and Wagner, C.R. "Analysis of pier scour predictions and real-time field measurements", In: *Proceedings of ICSF-1 First International Conference on Scour of Foundations*, Texas A&M University, College Station, Texas, US (2000).

4. Kwan, T.F. "A study of abutment scour", Rep. No. 451, School of Engineering, University of Auckland, Auckland, New Zealand (1988).
5. Kwan, T.F. and Melville, B.W. "Local scour and flow measurements at bridge abutments", *J. Hydraul. Res.*, **32**(5), pp. 661-673 (1994).
6. Ahmed, F. and Rajaratnam, N. "Observations on flow around bridge abutment", *J. Eng. Mech., Am. Soc. Civ. Eng.*, **126**(1), pp. 51-59 (2000).
7. Biglari, B. and Sturm, T.W. "Numerical modeling of flow around bridge abutments in compound channel", *J. Hydraul. Eng., Am. Soc. Civ. Eng.*, **124**(2), pp. 156-164 (1998).
8. Kandasamy, J.K. and Melville, B.W. "Maximum local scour depth at bridge piers and abutments", *J. Hydraul. Res.*, **36**(2), pp. 183-197 (1998).
9. Garde, R.J., Subramanya, K. and Nambudripad K.D. "Study of scour around spur-dikes", *J. Hydraul. Div., Am. Soc. Civ. Eng.*, **87**, pp. 23-37 (1961).
10. Sturm, T.W. and Janjua, N.S. "Clear-water scour around abutments in floodplains", *J. Hydraul. Eng., Am. Soc. Civ. Eng.*, **120**(8), pp. 956-972 (1994).
11. Lim, S.Y. "Equilibrium clear-water scour around an abutment", *J. Hydraul. Eng., Am. Soc. Civ. Eng.*, **123**(3), pp. 237-243 (1997).
12. Richardson, J.E. and Panchang, V.G. "Three-dimensional simulation of scour-inducing flow at bridge piers", *J. Hydraul. Eng.*, **124**(5), pp. 530-540 (1998).
13. Dey, S., Chiew, Y.M. and Kadam, M.S. "Local scour and riprap stability at an abutment in a degrading bed", *J. Hydraul. Eng., ASCE*, **134**(10), pp. 1490-1502 (2008).
14. Teruzzi, A., Ballio, F. and Armenio, V. "Turbulent stresses at the bottom surface near an abutment: Laboratory-scale numerical experiment", *J. Hydraul. Eng., ASCE*, **135**(2), pp. 106-117 (2009).
15. Sui, J., Afzalimehr, H., Kabiri, S.A. and Maherani M. "Clear-water scour around semi-elliptical abutments with armored beds", *International J. Sediment Research*, **25**(3), pp. 233-244 (2010).
16. Koken, M. and Gogus, M. "Effect of abutment length on the bed shear stress and the horseshoe vortex system", International Conference on Fluvial Hydraulics, Braunschweig, Germany (2010).
17. Morales, R. and Ettema, R. "Insights from depth-averaged numerical simulation of flow at bridge abutments in compound channels", Department of Civil and Architectural Engineering university of wyoming Laramie, wy 82071, **701** (2011).
18. Bradford, S.F. "Numerical simulation of surf zone dynamics", *J. Waterw. Port. C., ASCE*, **126**(1), pp. 1-13 (2000).
19. Chopakatla, S.C. "A CFD model for wave transformations and breaking in the Surf Zone", MS. Thesis, The Ohio State University (2003).
20. Flow Science, Inc., FLOW-3D User's Manual. Flow Science, Inc., 8.0 edition (2002).
21. Smith, H.D. "Modeling the flow and scour around an immovable cylinder", MS thesis, The Ohio State University (2004).
22. Brethour, J. "Modeling sediment scour", Technical Document No. FSI-03-TN62, pp. 1-6 (2003).
23. Kayaturk, S.Y. "Scour and scour protection at bridge abutments". MS Thesis, The Middle East Technical University (2005).